

УДК 536.42:546.71.383

©1994

## ФАЗОВЫЕ ПРЕВРАЩЕНИЯ НОВОГО ТИПА В ОРТОМАНГАНИТАХ $\text{EuMnO}_{3+\alpha}$ И $\text{DyMnO}_{3+\alpha}$

*И.О. Троянчук, А.И. Акимов*

Образцы  $\text{EuMnO}_{3+\alpha}$  и  $\text{DyMnO}_{3+\alpha}$  исследованы методами высокотемпературной дилатометрии и ДТА в интервале температур 20–1500 °C. При измерениях в режиме охлаждения от высоких температур ( $T > 1000$  °C) обнаружен структурный переход нового типа. Предполагается, что переход обусловлен перестройкой доменов кристаллической структуры.

Ортоманганиты типа  $\text{LaMnO}_3$  со структурой первовскита были предметом интенсивного изучения после обнаружения переходов металл–диэлектрик и антиферромагнетик–ферромагнетик в системе  $\text{La}_{1-x}\text{B}_x\text{MnO}_3$  ( $\text{B}=\text{Ca}, \text{Sr}, \text{Ba}$ ) [1]. В дальнейшем при исследованиях  $\text{LaMnO}_3$  методом нейтронографии было установлено антиферродисторсионное упорядочение  $d_{z^2}$ -орбиталей [2]. Это явление было ранее предсказано Гудинафом [3]. При дальнейших исследованиях было установлено, что фазовый переход в орбитально неупорядоченное состояние в  $\text{PrMnO}_3$  и  $\text{NdMnO}_3$  является фазовым превращением первого рода, причем орбитально упорядоченная и разупорядоченная фазы сосуществуют в широком температурном интервале [4,5]. Следует отметить, что если манганиты лантана, празеодима и неодима относительно хорошо исследованы, то по свойствам манганитов тяжелых редкоземельных ионов самария и европия опубликовано весьма незначительное количество работ и сведения об их свойствах зачастую противоречивы. Так, согласно [6], магнитное упорядочение в  $\text{AMnO}_3$  ( $\text{A}=\text{Tb}, \text{Gd}, \text{Dy}$ ) отсутствует вплоть до температуры 2 К, однако в более поздней работе [7] методом нейтронографии в  $\text{TbMnO}_3$  ниже 40 К выявлена спиральная магнитная структура. Тип орбитального упорядочения также является предметом дискуссии [4,8].

В настоящей работе сообщаются результаты исследований ортоманганитов  $\text{EuMnO}_{3+\alpha}$  и  $\text{DyMnO}_{3+\alpha}$  методами ДТА–ТГ и дилатометрии в интервале температур 20–1500 °C.

Образцы получены по обычной керамической технологии из оксидов  $\text{Eu}_2\text{O}_3$ ,  $\text{Dy}_2\text{O}_3$  и  $\text{Mn}_2\text{O}_3$  квалификации ОСЧ. Обжиг проведен на воздухе при температурах 1410 и 1510 °C. Скорость охлаждения 200–400 °C в час. Рентгенофазовый анализ образцов, выполненный на дифрактометре ДРОН-3М в  $\text{Fe K}_\alpha$ -излучении, обнаружил только первовскитную фазу и не выявил следов других фаз. Параметры  $O'$ -орторомбической элементарной ячейки:  $\text{EuMnO}_{3+\alpha}$ ,  $a = 5.338$ ,

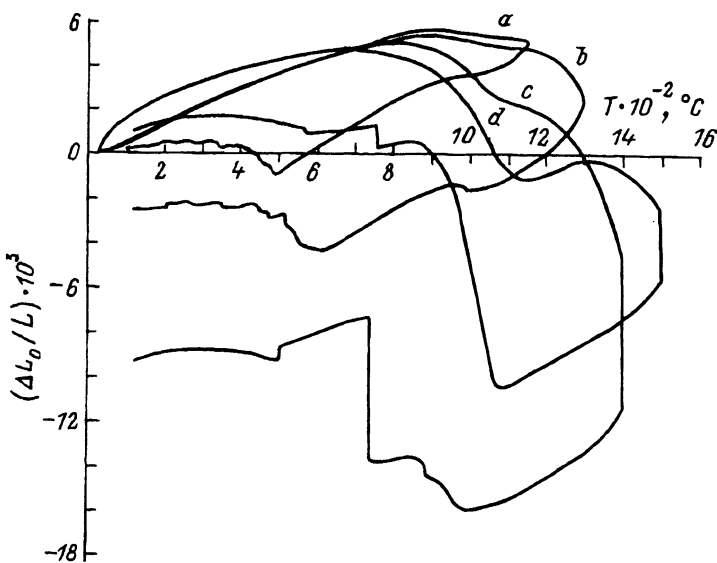


Рис. 1. Зависимость  $\Delta L/L_0$  образца  $\text{EuMnO}_{3+x}$  при нагреве и охлаждении с  $1150$  (a),  $1300$  (b),  $1400$  (c),  $1500$   $^{\circ}\text{C}$  (d).

$b = 5.842$ ,  $c = 7.455 \text{ \AA}$  и  $\text{DyMnO}_{3+x}$ ,  $a = 5.270$ ,  $b = 5.793$ ,  $c = 7.380 \text{ \AA}$ . Эти данные хорошо согласуются с результатами [6]. Дилатометрические исследования проведены на дилатометре DI-24 фирмы «ADAMEL LHOMARGY» на образцах в форме цилиндров длиной 6–12 мм и диаметром 8 мм. ДТА-ТГ-исследования выполнены на дериватографе ДТА-ТГ-92 фирмы «SETARAM». Скорость изменения температуры при измерениях на дилатометре —  $2 \text{ }^{\circ}\text{C}$ , а при исследованиях методом ДТА-ТГ —  $1.5$ – $10 \text{ }^{\circ}\text{C}/\text{min}$ . Среда — воздух. В процессе измерений работа дилатометра неоднократно проверялась путем измерений в режиме нагрева до высоких температур с последующим охлаждением образцов с известным температурным ходом кривой  $\Delta L/L$ . Аналогично проверялась работа дериватографа. Измерения относительного удлинения образцов на дилатометре и кривых ДТА-ТГ на дериватографе для образцов  $\text{EuMnO}_{3+x}$  и  $\text{DyMnO}_{3+x}$  повторялись не менее шести раз.

На рис. 1,а представлены результаты измерений  $\Delta L/L_0$  для  $\text{EuMnO}_{3+x}$  при нагревании до  $1150$   $^{\circ}\text{C}$  и охлаждении. Выше  $900$   $^{\circ}\text{C}$  тепловое расширение сменяется сжатием, что указывает на фазовый переход I рода. Около  $980$   $^{\circ}\text{C}$  при охлаждении образца наблюдается аномалия, по-видимому, обусловленная обратным переходом в низкотемпературную фазу. Ниже  $500$   $^{\circ}\text{C}$  опять появляется резкая аномалия, обусловленная другим фазовым переходом в новую фазу. Поведение относительного изменения длины  $\Delta L/L_0$  этой фазы весьма необычно (рис. 1,а). При охлаждении образца от температуры  $1300$   $^{\circ}\text{C}$  (рис. 1,б) высокотемпературное фазовое превращение происходит в районе  $990$ – $1000$   $^{\circ}\text{C}$ , а низкотемпературное — в районе  $600$   $^{\circ}\text{C}$ . Длина образца в низкотемпературной фазе, как и в предыдущем случае, меняется хаотически (рис. 1,б). Ход зависимости  $\Delta L/L_0$  резко меняет-

ся при охлаждении образца, выдержанного при температуре 1400 °C в течение 2 h (рис. 1,с). Хаотический характер изменения длины образца в низкотемпературной фазе исчезает, однако появляются три скачка, причем самый интенсивный в районе 737 °C достигает величины 0.7% длины образца. Поражает узкий температурный интервал, в котором происходят скачки: 5–7 °C. После этих исследований образец был отожжен в течение 1 h при 1510 °C и охлажден вместе с печью. Дальнейший цикл измерений был выполнен при нагревании до 1500 °C и охлаждении (рис. 1,d). Изменение длины образца, связанное с высокотемпературным фазовым превращением, намного больше, чем в предыдущем случае, и достигает 1.1% при измерении в режиме охлаждения. Температура окончания перехода при нагревании 1146 °C, начало перехода при охлаждении 1079 °C. Выше температуры 1305 °C при нагревании образец опять начинает уменьшать размеры. Трудно сказать, обусловлено это фазовым превращением или изменением стехиометрии, так как на обратном ходе кривой резкие аномалии в интервале до 1079 °C отсутствуют, хотя сама кривая имеет нелинейный характер. Предыдущие измерения были проведены в условиях предварительной нагрузки 17 cN на образец при 20 °C. Далее были проведены циклические измерения по одному и тому же температурному режиму (нагрев до 1500 °C, выдержка в течение 2 h с последующим охлаждением) с различной величиной нагрузки на образец. Величина нагрузки задавалась при температуре 20 °C и могла изменяться в интервале от 2.5 до 45 cN. Изменение нагрузки от 5 до 45 cN практически не влияло на температуру скачкообразного перехода, который всегда проходил при 756 °C, и величину скачка. При величине нагрузки 2.5 cN скачкообразный переход разделился на два скачка при 760 и 740 °C.

Явления аналогичного характера наблюдались и в случае DyMnO<sub>3+x</sub>. Однако последовательность измерений была другая. Сначала измерения были проведены в режиме нагревания, выдержка в течение 120 min при 1390 °C и охлаждении от этой температуры. Нагрузка на образец 17 cN. При температуре 735 °C наблюдался скачкообразный переход в низкотемпературную фазу (рис. 2). При много-

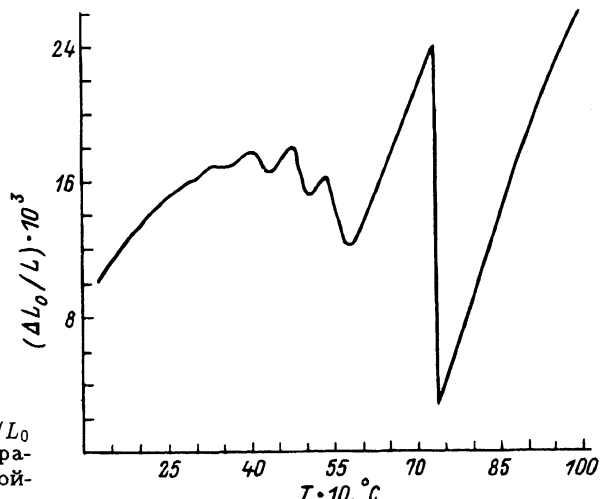


Рис. 2. Зависимость  $\Delta L/L_0 \cdot 10^3$  от температуры  $T \cdot 10, ^\circ C$  для образца  $DyMnO_{3+x}$  в температурном интервале перестройки доменной структуры.

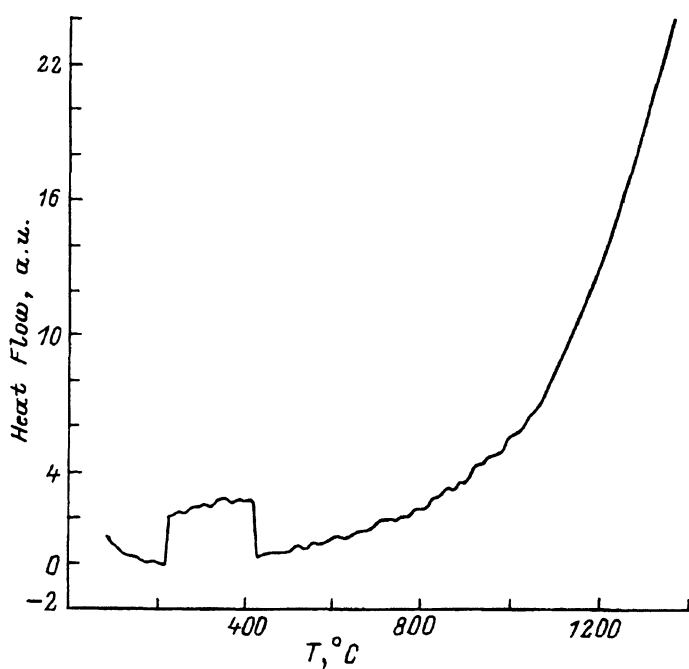


Рис. 3. Кривая ДТА образца  $DyMnO_{3+x}$  при охлаждении от температуры 1400 °С.

кратных циклических измерениях было обнаружено полное совпадение результатов измерений. Затем были проведены измерения при нагреве и охлаждении образцов с последовательным увеличением температуры нагрева от 1000 до 1500 °С через 50 °С. При измерениях до 1000 °С обратный и прямой ход кривой почти совпал. При увеличении температуры, от которой охлаждались образцы с 1100 до 1400 °С, наблюдался переход при 735 °С в низкотемпературную фазу, причем величина аномалий ниже 740 °С плавно возрастала и сам ход кривой не менялся.

В случае исследования  $DyMnO_{3+x}$  методом ДТА при нагреве до 1400 °С и охлаждении от этой температуры на обратном ходе кривой наблюдалось аномальное поведение в районе 200–500 °С (рис. 3). При нагреве до 1450 °С аномальное поведение начиналось при 600 °С. В цикле измерений: нагрев до 1000 °С и охлаждение аномалий не наблюдалось. Из исследований методом ТГ следует, что при нагревании до 1000 °С образец окисляется, причем увеличение массы не превышает 1.0%, что соответствует изменению концентрации кислорода в решетке почти на 10%. При охлаждении образец восстанавливается.

Результаты измерений строго воспроизводятся. Явления аналогичного характера наблюдались на образцах ортоманганитов  $SmMnO_3$ ,  $CdMnO_3$  и  $TbMnO_3$ . Замещение ионов РЗЭ на  $Ca^{2+}$  приводит к размытию и исчезновению  $\Delta L/L$ . Скачков на кривых  $\Delta L/L$  мы не наблюдали в случае высокотемпературных измерений на шпинелях типа  $ZnMnO_4$ , манганитах с гексагональной структурой типа  $YMnO_3$ , перовскитах типа  $LaFeO_3$ ,  $SmAlO_3$  или  $PbTiO_3$ , различных систем ВТСП.

Надежная интерпретация полученных результатов может быть дана только после цикла дальнейших структурных исследований. Одна-

ко мы высажем некоторые предварительные соображения по поводу физической природы обнаруженного явления.

Мы полагаем, что в районе 800–1100 °С при нагревании в  $\text{EuMnO}_{3+x}$  и  $\text{DyMnO}_{3+x}$  происходит фазовый переход первого рода, обусловленный орбитальным разупорядочением. По-видимому, в условиях измерений на воздухе при высоких температурах фазовые превращения в ортоманганитах, обусловленные орбитальным упорядочением и поворотом октаэдров  $\text{MnO}_6$ , являются размытыми и при измерениях методом ДТА надежно не выявляются. Ромбическая симметрия при переходе в парафазу, по всей видимости, не меняется. Об этом свидетельствуют результаты исследований  $\text{LaMnO}_3$  и  $\text{PrMnO}_3$  рентгеноструктурным методом [5]. С увеличением порядкового номера РЗЭ степень орторомбических искажений парафазы должна увеличиваться вследствие роста несоответствия размеров РЗЭ и марганца.

Есть основания полагать, что после перехода в орбитально разупорядоченное состояние происходят сильные изменения в образце, обусловленные перераспределением взаимодействующих между собой дефектов, причем эти явления носят гистерезисный характер. Длина образца при температуре орбитального упорядочения в режиме охлаждения значительно меньше, чем в режиме нагрева (рис. 1). Процессы спекания исключены в результате предыдущей термообработки. Поэтому можно предположить, что при охлаждении фазовый переход в орбитально упорядоченное состояние происходит на фоне другой концентрации и распределения дефектов, чем при нагреве. Объемы элементарных ячеек орбитально упорядоченной и разупорядоченной фаз сильно различаются (рис. 1, кривая *d*). Следовательно, можно ожидать, что этим фазам соответствуют различные типы доменных состояний кристаллической структуры. Однако при относительно быстром охлаждении доменная структура не успевает перестраиваться и сохраняется до температур, значительно меньших температуры начала фазового превращения. При низких температурах дефекты начинают упорядочиваться, что приводит к их оттоку от доменных стенок и соответственно к увеличению подвижности доменных стенок.

По-видимому, перестройка доменной структуры происходит по-разному при измерениях методом ДТА и дилатометрии. В случае измерений методом дилатометрии существует выделенное направление, так как к образцу прилагается одноосная механическая нагрузка. При высокой подвижности доменных стенок эта нагрузка может привести к серьезной модификации доменной структуры и коренным образом изменить процесс доменной перестройки. Так как мы не смогли обнаружить аналогичного явления в других известных ферроэластиках с различными структурами, то можно предположить, что ян-теллеровская природа фазового превращения в ортоманганитах является существенной в механизме обнаруженного явления.

#### Список литературы

- [1] Jonker G.H. // Physica. 1956. V. 22. P. 707.
- [2] Elemans J.B. et al. // J. Solid State Chem. 1971. V. 3. P. 283.
- [3] Гудинаф Д. Магнетизм и химическая связь. М.: Металлургия, 1968.
- [4] Троянчук И.О. // ЖЭТФ. 1992. Т. 102. С. 251.
- [5] Polert E. et al. // J. Phys. Chem. Solids. 1982. V. 43. P. 1137.

[6] Pauthenet R., Veyert C. // J. Phys. 1970. V. 31. P. 65.

[7] Quezel S. et al. // Physica BC. 1986. V. 86-88. P. 916.

[8] Wood V.E. et al. // J. Phys. Chem. Solids. 1973. V. 34. P. 859.

Институт физики твердого тела  
и полупроводников АН Беларуси  
Минск

Поступило в Редакцию  
23 декабря 1993 г.